

- Réfs: "Le mystère des jokers quantiques" YouTube Science Étonnante  
 ↳ "The mystery of quantum cards" AAPT (2000)  
 "Bell non-locality" Rev Mod Phys 86  
 "A simple proof of Bell's inequality" AAPT (2013).

- I) Rappel complémentaires & axiomes mesures quantiques
- II) Jokers quantiques
- III) Définition formelle. Compléments supra-quantiques
- IV) Rappel complémentaires & axiomes mesures quantiques

### Chat de Schrödinger

$\mathcal{H}$  espace de Hilbert

$|4\rangle \in \mathcal{H}$  vecteur     $\langle 4|$  dual

$\langle 4 | 4 \rangle$  produit scalaire hermitien.

Axiome PQ:  $\hat{O}$  observable  $\rightarrow$  "propriété de l'objet qu'on peut mesurer"

$$\hat{O} \in \text{End}(\mathcal{H}) \quad \hat{O}^\dagger = \hat{O}$$

$$\hat{O} = \sum_j O_j \hat{P}_j \quad \{\hat{P}_j\} \text{ POVM} \quad \sum_j \hat{P}_j = \mathbb{1} \quad \hat{P}_j \geq 0$$

positive operator valued measure

$j$  indexe les résultats possibles,  $O_j$  valeur de la mesure

positive semi-definite

Probabilité d'obtenir  $O_j$  comme résultat:

$$p_j := p(\hat{O} = O_j) = \langle 4 | \hat{P}_j | 4 \rangle$$

On a bien  $p_j \geq 0$      $\sum_j p_j = 1 \quad \rightarrow$  Bonne mesure de probabilité

$$\langle \hat{O} \rangle = \langle \Psi | \hat{O} | \Psi \rangle$$

Après la mesure, l'état est mis à jour

$$|\Psi\rangle \rightarrow \frac{\hat{P}_j |\Psi\rangle}{\sqrt{\langle \Psi | \hat{P}_j | \Psi \rangle}} \quad \text{avec proba } \langle \Psi | \hat{P}_j | \Psi \rangle.$$

↳ "Quantum backaction": Mesure affecte l'état

Exemple       $\mathcal{H}$  dim 2

Base  $\{|0\rangle, |1\rangle\}$

$$\hat{O} = |1\rangle\langle 1| \quad , \quad \text{notation matricielle} \quad \hat{O} = \begin{pmatrix} 0 & 0 \\ 0 & 1 \end{pmatrix}$$

$$|\Psi\rangle = \frac{1}{\sqrt{2}} (|0\rangle + |1\rangle)$$

$$P_0 = \frac{1}{2} (\langle 0 | + \langle 1 |) |0\rangle\langle 0| (|0\rangle + |1\rangle) = \frac{1}{2}$$

$$P_1 = \frac{1}{2}$$

$$\langle \hat{O} \rangle = \frac{1}{2} \quad \langle \hat{O} \rangle = \frac{1}{2} (|1\rangle \langle 1|) \begin{pmatrix} 0 & 0 \\ 0 & 1 \end{pmatrix} (|1\rangle \langle 1|) = \frac{1}{2}$$

Si on mesure  $O$ , alors le résultat  $|1\rangle = |0\rangle\langle 0|$  sinon  $|1\rangle = |1\rangle\langle 1|$

On donne souvent l'exemple du chat dans une superposition mort/vivant...

Beaucoup plus naturel d'utiliser l'argument "classique": on ne sait pas quel est l'état du chat, cela ne signifie pas que son état n'est pas bien défini et "préexiste" à la mesure.

2 observateurs: correlations ou intrication?

Situation canonique qu'on considérera pour le reste souvent

Deux observateurs A & B (Alice et Bob)

Un état  $|\Psi\rangle \in \mathcal{H}$

$\mathcal{H}$  peut être factorisé  $\mathcal{H}_A \otimes \mathcal{H}_B$



auxquelles A a accès

$\hat{O}^A$  observable d'Alice  $\hat{O}^B$ , Bob

$$[\hat{O}^A, \hat{O}^B] = 0$$

↳ Probabilités à plusieurs variables :

$$P(\hat{O}^A = O_j^A, \hat{O}^B = O_k^B) = \langle 14 | \hat{P}_j^A \otimes \hat{P}_k^B | 14 \rangle = \underbrace{\text{tr}(|14\rangle\langle 14|)}_{:= \rho} \hat{P}_j^A \otimes \hat{P}_k^B$$

$\rho$  Matrice densité

$\rho$  contient toutes les informations sur les corrélations du système

Exemple Base de  $\mathcal{H}$  dim 4:  $\{ \begin{matrix} & A \\ \downarrow & \downarrow \\ |00\rangle & |01\rangle & |10\rangle & |11\rangle \end{matrix} \}$ .

$$|14\rangle = \frac{1}{\sqrt{2}} (|01\rangle + |10\rangle).$$

$$\hat{O}^A = |1\rangle\langle 1| \otimes (\mathbb{1}^B) \quad \hat{O}^B = \mathbb{1}^A \otimes (|1\rangle\langle 1|)$$

$$\hat{O}^A = \begin{pmatrix} 1 & 0 & 0 & 0 \\ 0 & 1 & 0 & 0 \\ 0 & 0 & 1 & 0 \\ 0 & 0 & 0 & 1 \end{pmatrix} \quad \hat{O}^B = \begin{pmatrix} 1 & 0 & 0 & 0 \\ 0 & 1 & 0 & 0 \\ 0 & 0 & 1 & 0 \\ 0 & 0 & 0 & 1 \end{pmatrix}$$

$$\rho = |14\rangle\langle 14| = \frac{1}{2} \left( \begin{matrix} 0 & 1 & 1 & 0 \\ 1 & 0 & 0 & 0 \\ 1 & 0 & 0 & 0 \\ 0 & 0 & 0 & 0 \end{matrix} \right) \quad \text{Quid de ça ??}$$

Correspond à  $P(0,0) \ P(0,1) \ P(1,0) \ P(1,1)$

Si on a accès qu'à  $\hat{O}^A, \hat{O}^B \rightarrow$  interprétation classique classique : variables parfaitement anti-correlées.

Dans ce cas il y a toujours une interprétation possible de l'existence d'une variable aléatoire "cachée"  $\lambda$  telle que

$$P(\hat{O}^A, \hat{O}^B) = p(\lambda) \ p(\hat{O}^A, \lambda) \ p(\hat{O}^B, \lambda).$$

peut être fixé comme une proba certaine en général

Dans cet exemple  $\lambda \in \{+, -\}$ .  $P(\lambda=+) = P(\lambda=-) = 1/2$

$$P(\hat{O}_A^A = O_A^A, +) = \delta_{O_A^A, 1} \quad P(\hat{O}_B^B = O_B^B, +) = \delta_{O_B^B, 0}$$

$$P(\hat{O}_A^A = O_A^A, -) = \delta_{O_A^A, 0} \quad P(\hat{O}_B^B = O_B^B, -) = \delta_{O_B^B, 1}$$

Dans les cas qu'on va étudier A & B pourront en général avoir accès à plusieurs observables. On rajoute un indice pour tenir compte de ça:

$$\hat{O}_x^A \quad x \in \text{Ensemble fini discré } \{1, \dots, m\}$$

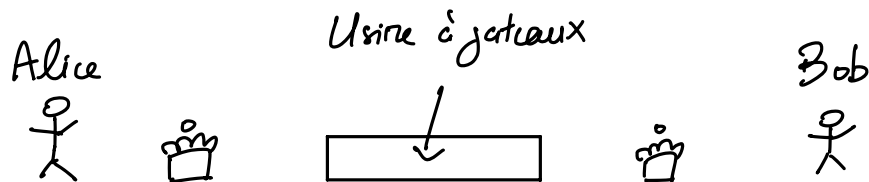
$$\text{On a toujours } [\hat{O}_x^A, \hat{O}_y^B] = 0 \quad \forall x, y$$

$$\text{Mais en général } [\hat{O}_x^A, \hat{O}_y^A] \neq 0 \quad \underset{\uparrow}{x \neq y}.$$

ce qu'on appelle en mécanique quantique le principe d'incomplétude

→ le système n'a jamais simultanément une valeur bien définie de  $\hat{O}_x^A$  et  $\hat{O}_y^A$

### II) Gâteaux quantiques



Gâteaux ont 2 propriétés: 1: Bons ou mauvais.

2: Contiennent ou non du fromage

A & B ne trouvent tous qu'une de ces propriétés à la fois.

Ils répètent plein de fois l'expérience et comparent la statistique de leurs résultats.

Dans cet exemple particulier

- Dans 9% des cas les 2 gâteaux ont du foie
- À chaque fois qu'un dévorateur a du foie dans son gâteau, l'autre était bon. (Rem: on ne sait pas que l'inverse soit vrai)

Dans le cas classique, la probabilité d'avoir 2 gâteaux bons  $p(\text{Bon}, \text{Bon})$  au moins être supérieure à 9%.

Il s'avère qu'on peut construire un exemple quantique où  $p(\text{Bon}, \text{Bon}) = 0$ !

Deux observables

$$\hat{O}_b^A, \hat{O}_f^A, \hat{O}_b^B, \hat{O}_f^B$$

$$\hat{O}_b^A = |b_+ X b_+| - |b_- X b_-|$$

$$|b_+\rangle = \left(\frac{2}{5}\right)^{1/2} |b_+\rangle + \left(\frac{3}{5}\right)^{1/2} |b_-\rangle$$

$$\hat{O}_f^A = |f_+ X f_+| - |f_- X f_-|$$

$$|b_-\rangle = \left(\frac{3}{5}\right)^{1/2} |b_+\rangle - \left(\frac{2}{5}\right)^{1/2} |b_-\rangle$$

$$|b_+\rangle = \left(\frac{2}{5}\right)^{1/2} |f_+\rangle + \left(\frac{3}{5}\right)^{1/2} |f_-\rangle \quad \text{Inverse.}$$

$$|b_-\rangle = -\left(\frac{3}{5}\right)^{1/2} |f_+\rangle + \left(\frac{2}{5}\right)^{1/2} |f_-\rangle$$

état symétrique  $A \leftrightarrow B$

Et on considère l'état

$$|\Psi\rangle = \left(\frac{3}{8}\right)^{1/2} (|b_+, b_-\rangle + |b_-, b_+\rangle) - \frac{1}{2} |b_-, b_-\rangle$$



$$\text{Normalisation: } \langle \Psi | \Psi \rangle = \frac{3}{8} + \frac{3}{8} + \frac{1}{4} = 1 \quad \text{ok} \checkmark$$

$$P(b_+, b_+) = \langle \Psi | b_+, b_+ X b_+, b_+ | \Psi \rangle = 0 \quad ) \text{ Impossible d'avoir 2 bons gâteaux}$$

Imaginons que Bob a eu du foie dans son gâteau

Conditionné à ce résultat

$$|4\rangle |\hat{O}_b^B = f+\rangle = \frac{\left( \mathbb{1}^A \otimes |f+X_f+1\rangle \right) |4\rangle}{\sqrt{\langle 4|(\mathbb{1}^A \otimes |f+X_f+1\rangle) |4\rangle}} \quad \text{Dit une probabilité conditionnelle}$$

$$\begin{aligned} (\mathbb{1}^A \otimes |f+X_f+1\rangle) |4\rangle &= \left( \frac{3}{8} \right)^{1/2} \left( - \left| \frac{3}{5} \right\rangle |b+, f+\rangle + \left| \frac{2}{5} \right\rangle |b-, f+\rangle + \frac{1}{2} \left| \frac{3}{5} \right\rangle |b-, f-\rangle \right) \\ &= \left( - \frac{3}{\sqrt{40}} |b+\rangle + \underset{\substack{\uparrow \\ \text{Magic}}}{0} |b-\rangle \right) \otimes |f+\rangle \end{aligned}$$

Après normalisation (et absorption du facteur de phase)

$$|4\rangle |\hat{O}_b^B = f+\rangle = |b+, f+\rangle$$

$$\begin{aligned} \text{Et finalement } p(f+, f+) &= \langle 4 | f+, f+ X f+, f+ | 4 \rangle \\ &= \frac{9}{40} |\langle f+ | b+ \rangle|^2 \\ &= \frac{9}{40} \frac{2}{5} = \frac{18}{200} = \underline{\underline{9\%}} \end{aligned}$$

### III) Définition formelle. Compositions supra-quantiques

- Scenario de Bell
- Local (L), Quantum (Q), No-signalling (NS)
- Diff initalité
- Ex  $\Delta = m = 2$  Inégalité CHSH (Clauser-Horne-Shimony-Holt)

#### Scenario de Bell

Deux observateurs causalement séparés reçoivent un objet d'une source commune.

Puissent respectivement mesurer les observables  $x$  &  $y$   
en choix possibles

$a(x)$ ,  $b(y)$  résultats possibles de ces mesures

$\Delta$  résultats possibles.

Toutes les propriétés statistiques d'un scenario de Bell sont caractérisées par  $p(ab|xy)$

Probabilité d'obtenir le résultat  $ab$  après avoir  
effectué la mesure  $(x,y)$

On requiert seulement que cela définitse bien une probabilité :

$$p(ab|xy) \geq 0 \quad \forall (a,b,x,y)$$

$$\sum_{a,b=1}^{\Delta} p(ab|xy) = 1 \quad \forall (x,y)$$

### Correlations locales (L)

On peut toujours les écrire sous la forme

$$p(ab|xy) = \int d\lambda q(\lambda) p(a|x,\lambda) p(b|y,\lambda)$$

i.e.  $\lambda$  une variable aléatoire cachée dont la connaissance permet de rendre statistiquement indépendants les mesures d' $A$  &  $B$

### Correlations quantiques (Q)

On peut toujours écrire les corrélations sous la forme

$$p(ab|xy) = \langle \Psi | \hat{P}_{a|x}^A \otimes \hat{P}_{b|y}^B | \Psi \rangle$$

$\{\hat{P}_{a|x}^A\}_a, \{\hat{P}_{b|y}^B\}_b$  POVMs associés à  $\hat{O}_x^A, \hat{O}_y^B$

Si on regarde le sous-ensemble de  $\mathcal{S}\mathcal{H}$

$$|\Psi\rangle = \sum_{\lambda} p_{\lambda} |\Psi_{\lambda}\rangle_A \otimes |\Phi_{\lambda}\rangle_B$$

$\uparrow \quad \uparrow$   
 $\in \mathcal{S}\mathcal{H}_A \quad \in \mathcal{S}\mathcal{H}_B$

Alors  $p(ab|xy)$  est local

Donc  $\alpha \subset Q$

### Correlations No-Signalling (CNS)

$p(ab|xy)$  doit vérifier

$$\sum_{b=1}^{\Delta} p(ab|xy) = \sum_{b=1}^{\Delta} p(ab|xy') \quad \forall a, x, y, y'$$

et vice-versa

$$\sum_{a=1}^{\Delta} p(ab|xy) = \sum_{a=1}^{\Delta} p(ab|x'y) \quad \forall c, y, x, x'$$

↳ on ne peut pas communiquer de l'information (i.e le choix de l'observable mesuré) via les corrélations

Pour les corrélations quantiques la propriété

$$\sum_{a=1}^{\Delta} \hat{P}_{a|x}^A = \sum_{b=1}^{\Delta} \hat{P}_{b|y}^B = \mathbb{I}$$

nous assure que c'est vrai.

Donc  $\mathcal{Q} \subset \mathcal{Q} \subset \mathcal{NS}$ .

De plus, on peut montrer que tous les ensembles ont la même dimension

$$t := 2(\Delta - 1)m + (\Delta - 1)^2 m^2$$

$\mathcal{Q}, \mathcal{Q}, \mathcal{NS}$  sont fermés, bornés et convexes

Les domaines entre ces ensembles sont définis par des inégalités définies par un couple  $(s, S_k)$

$$s.p := \sum_{abx} s_{xy}^{ab} p(ab|xy) \leq S_k$$

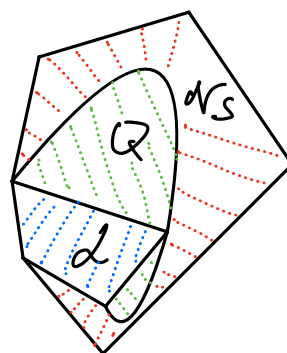
où  $k$  est un index pour désigner l'ensemble qui vérifie l'inégalité

$k = \mathcal{Q} \rightarrow$  Inégalité de Bell

$k = \mathcal{NS} \rightarrow$  Inégalité de Tsirelson

Structure générale

$\mathcal{Q}$  et  $\mathcal{NS}$  sont des polytopes



Un exemple important  $m = \Delta = 2$

Inégalité CHSH  $a, b \in \{-1, +1\}$ ,  $x, y \in \{0, 1\}$

$$M = \langle a_0 b_0 \rangle + \langle a_0 b_1 \rangle + \langle a_1 b_0 \rangle - \langle a_1 b_1 \rangle \leq 2$$

Rappel: Hyp de localité:  $p(ab|xy) = \int d\lambda p(\lambda) p(a|x, \lambda) p(b|y, \lambda)$

$$M = \int d\lambda M_\lambda$$

$$M_\lambda = \langle a_0 \rangle_\lambda \langle b_0 \rangle_\lambda + \langle a_0 \rangle_\lambda \langle b_1 \rangle_\lambda + \langle a_1 \rangle_\lambda \langle b_0 \rangle_\lambda - \langle a_1 \rangle_\lambda \langle b_1 \rangle_\lambda$$

$$|M_\lambda| \leq | \langle b_0 \rangle_\lambda + \langle b_1 \rangle_\lambda | + | \langle b_0 \rangle_\lambda - \langle b_1 \rangle_\lambda |$$

Supposons  $\langle b_0 \rangle_\lambda \geq \langle b_1 \rangle_\lambda > 0$  (les autres cas s'obtiennent simplement en renversant les signes ci-dessus).

$$|M_\lambda| \leq " = 2 \langle b_0 \rangle_\lambda \leq 2$$

$$M \leq 2$$

Ex d'état quantique qui viole cette inégalité :

$$|\psi\rangle = \frac{1}{\sqrt{2}} (|01\rangle - |10\rangle)$$

2 dérivatives

vecteurs propres de  $\sigma_z$

$$\vec{x} \cdot \vec{\sigma} \quad \text{et} \quad \vec{y} \cdot \vec{\sigma}$$

$\vec{\sigma}$  flétchies de Pauli.

$$\begin{aligned} 2 \text{ configurations } x=0 &\rightarrow \vec{x} = \vec{e}_1 \quad \text{orthogonaux} \\ x=1 &\rightarrow \vec{x} = \vec{e}_2 \end{aligned}$$

$$y=0 \rightarrow \vec{y} = -\frac{1}{\sqrt{2}} (\vec{e}_1 + \vec{e}_2)$$

$$y=1 \rightarrow \vec{y} = \frac{1}{\sqrt{2}} (-\vec{e}_1 + \vec{e}_2)$$

$$\langle a_x b_y \rangle = \langle \psi | \vec{x} \cdot \vec{\sigma} \otimes \vec{y} \cdot \vec{\sigma} | \psi \rangle$$

$$= \frac{1}{2} \left( \begin{array}{cccc} 0 & 1 & -1 & 0 \end{array} \right) \left( \begin{array}{cc} x_z & \begin{pmatrix} yz & yx - iy y \\ yx + iy y & -yz \end{pmatrix} \\ & x_x - ix y \end{array} \right) \left( \begin{array}{c} " \\ " \\ " \\ " \end{array} \right) \left( \begin{array}{c} 0 \\ 1 \\ -1 \\ 0 \end{array} \right)$$

$$= \frac{1}{2} \begin{pmatrix} 0 & 1 & -1 & 0 \end{pmatrix} \begin{pmatrix} " & " \\ -x_2 y_2 - (x_x - i y_y)(y_x + i y_y) \\ (x_x + i y_y)(y_x - i y_y) + x_2 y_2 \\ " & " \end{pmatrix}$$

$$= - \vec{x} \cdot \vec{y}$$

À partir de là  $\langle a_0 b_0 \rangle = \langle a_0 b_1 \rangle = \langle a_1 b_0 \rangle = 1/\sqrt{2}$

$$\langle a_1 b_1 \rangle = -1/\sqrt{2}$$

$$\boxed{M = 2\sqrt{2} > 2.}$$

borne supérieure de  $M$  pour des corrélations quantiques :

Rappel, on avait :  $M = \langle a_0 b_0 \rangle + \langle a_0 b_1 \rangle + \langle a_1 b_0 \rangle - \langle a_1 b_1 \rangle$

Dans le langage quantique  $M$  correspond à la valeur moyenne de l'opérateur

$$\hat{M} := \hat{O}_0^A \hat{O}_0^B + \hat{O}_0^A \hat{O}_1^B + \hat{O}_1^A \hat{O}_0^B - \hat{O}_1^A \hat{O}_1^B,$$

opérateurs dont les valeurs propres valem  $\pm 1$

$$= \hat{O}_0^A (\hat{O}_0^B + \hat{O}_1^B) + \hat{O}_1^A (\hat{O}_0^B - \hat{O}_1^B)$$

$$On a \quad (\hat{O}_{0/1}^{A/B})^2 = 1$$

$$\begin{aligned} \hat{M}^2 &= (\hat{O}_0^B + \hat{O}_1^B)^2 + (\hat{O}_0^B - \hat{O}_1^B)^2 + \hat{O}_0^A (\hat{O}_0^B + \hat{O}_1^B) \hat{O}_1^A (\hat{O}_0^B - \hat{O}_1^B) \\ &\quad + \hat{O}_1^A (\hat{O}_0^B - \hat{O}_1^B) \hat{O}_0^A (\hat{O}_0^B + \hat{O}_1^B) \end{aligned}$$

$$\hat{M}^2 = 4 + [\hat{O}_0^A, \hat{O}_1^A][\hat{O}_0^B, \hat{O}_1^B]$$

$$\|\hat{M}^2\| \leq 8 \quad \|M\| \leq 2\sqrt{2}$$

$\uparrow$        $\uparrow$        $\leftarrow$   
 Norme spectrale  
 (plus grande valeur propre)      "limite quantique"

## Violation de la limite quantique

On exhibe un exemple :

Modulo 2 après avoir paramétré  $\{1\} \rightarrow \{0\}$



$$P(ab|xy) = \begin{cases} 1/2 & \text{si } a \oplus b = xy \\ 0 & \text{sinon.} \end{cases}$$

Explicitement :

$$x=0 \quad y=0$$

$$\text{Idem } x=0, y=1$$

$$P_{\substack{-1 \\ -1}}(00|00) = P_{\substack{1 \\ 1}}(11|00) = 1/2$$

$$x=1, y=0$$

$$P_{\substack{-1 \\ -1}}(01|00) = P_{\substack{1 \\ 1}}(10|00) = 0$$

$$x=1 \quad y=1$$

$$P_{\substack{-1 \\ -1}}(00|11) = P_{\substack{1 \\ 1}}(11|11) = 0$$

$$P_{\substack{-1 \\ -1}}(01|11) = P_{\substack{1 \\ 1}}(10|11) = 1/2$$

Dans ce cas là

$$M = \langle a_0 b_0 \rangle + \langle a_0 b_1 \rangle + \langle a_1 b_0 \rangle - \langle a_1 b_1 \rangle$$

$$= 1 + 1 + 1 + 1 = 4$$

↗

Algebraic maximum

Variation "extrême" des gâteaux quantiques.